

Feedback and Sensitivity in Climate

Frédéric Hourdin

June 18, 2009

Outline

1 Boundary layer processes in climate

- Boundary layer as a boundary condition
- Boundary layer and clouds
- Boundary layer in the "Earth System"

2 Approaches to the parametrization of the boundary layer

- Scale decomposition
- Diffusive approaches and their limitations
- Alternatives to diffusive approaches

3 Boundary layer, clouds and convection

- Cloud schemes in climate models
- Cumulus clouds and mass flux parametrisations
- Boundary layer and deep convection

Outline

1 Boundary layer processes in climate

- Boundary layer as a boundary condition
- Boundary layer and clouds
- Boundary layer in the "Earth System"

2 Approaches to the parametrization of the boundary layer

- Scale decomposition
- Diffusive approaches and their limitations
- Alternatives to diffusive approaches

3 Boundary layer, clouds and convection

- Cloud schemes in climate models
- Cumulus clouds and mass flux parametrisations
- Boundary layer and deep convection

ps2pdf OK.

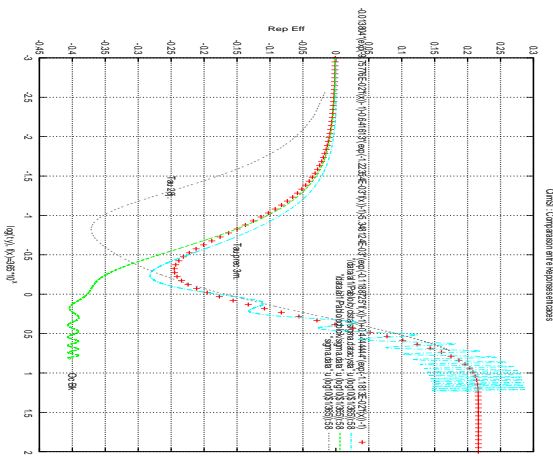


Figure: ClimSI WV feedback model responses.

Outline

1 Boundary layer processes in climate

- Boundary layer as a boundary condition
- **Boundary layer and clouds**
- Boundary layer in the "Earth System"

2 Approaches to the parametrization of the boundary layer

- Scale decomposition
- Diffusive approaches and their limitations
- Alternatives to diffusive approaches

3 Boundary layer, clouds and convection

- Cloud schemes in climate models
- Cumulus clouds and mass flux parametrisations
- Boundary layer and deep convection

Outline

1 Boundary layer processes in climate

- Boundary layer as a boundary condition
- Boundary layer and clouds
- **Boundary layer in the "Earth System"**

2 Approaches to the parametrization of the boundary layer

- Scale decomposition
- Diffusive approaches and their limitations
- Alternatives to diffusive approaches

3 Boundary layer, clouds and convection

- Cloud schemes in climate models
- Cumulus clouds and mass flux parametrisations
- Boundary layer and deep convection

Outline

1 Boundary layer processes in climate

- Boundary layer as a boundary condition
- Boundary layer and clouds
- Boundary layer in the "Earth System"

2 Approaches to the parametrization of the boundary layer

- Scale decomposition
- Diffusive approaches and their limitations
- Alternatives to diffusive approaches

3 Boundary layer, clouds and convection

- Cloud schemes in climate models
- Cumulus clouds and mass flux parametrisations
- Boundary layer and deep convection

Scale decomposition of the conservation equation

Conservation equation

\mathbf{v} : wind field

c : conserved quantity ($dc/dt = 0$),

$$\text{Advection form : } \frac{\partial c}{\partial t} + \mathbf{v} \cdot \nabla c = 0 \quad (1)$$

$$\text{Flux form : } \frac{\partial \rho c}{\partial t} + \nabla \cdot (\rho \mathbf{v} c) = 0 \quad (2)$$

Scale decomposition

\bar{X} : "average" or "large scale" variable

$X' = X - \bar{X}$: turbulent fluctuation

$$\bar{\mathbf{v}}c = \bar{\mathbf{v}}\bar{c} + \bar{\mathbf{v}}'c'$$

$$\frac{\partial \bar{q}}{\partial t} + \bar{\mathbf{V}} \cdot \nabla \bar{q} + \frac{1}{\rho} \nabla \cdot (\rho \bar{\mathbf{v}}' c') = 0 \quad (3)$$

Under boundary layer approximations ($\partial/\partial x \ll \partial/\partial z$) :

$$\frac{\partial c}{\partial t} + \mathbf{v} \cdot \mathbf{grad} \, c + \frac{1}{\rho} \frac{\partial}{\partial z} \overline{w'c'} = 0 \quad (4)$$

Turbulent closure :

Construct a model relating $\overline{w'c'}$ to the large scale variables.

Approaches to the parametrization of the boundary layer

Diffusive approaches and their limitations

Outline

1 Boundary layer processes in climate

- Boundary layer as a boundary condition
- Boundary layer and clouds
- Boundary layer in the "Earth System"

2 Approaches to the parametrization of the boundary layer

- Scale decomposition
- **Diffusive approaches and their limitations**
- Alternatives to diffusive approaches

3 Boundary layer, clouds and convection

- Cloud schemes in climate models
- Cumulus clouds and mass flux parametrisations
- Boundary layer and deep convection

Diffusive or local formulations for the PBL

$$\overline{w'c'} = -K_z \frac{\partial c}{\partial z} \quad \longrightarrow \quad \frac{\partial c}{\partial t} = \frac{\partial}{\partial z} \left(K_z \frac{\partial c}{\partial z} \right) \quad (5)$$

- Analogy with molecular viscosity.
- Down-gradient fluxes.
- Turbulence acts as a "mixing"

Turbulent diffusivity K_z

- Prandlt (1925) mixing length : $K_z = l \overline{|w'|}$ or $K_z = l^2 \frac{\partial ||\mathbf{v}||}{\partial z}$
- Accounting for static stability (Ex. Louis 1979)

$$K_z = f(Ri) l^2 \left| \frac{\partial \mathbf{v}}{\partial z} \right|, \quad \text{with } Ri = \frac{g}{\theta} \frac{\frac{\partial \theta}{\partial z}}{\left(\frac{\partial \mathbf{v}}{\partial z} \right)^2} \quad (6)$$

- Turbulent kinetic energy $\overline{w'^2} \simeq e = \frac{1}{2} \left[\overline{u'^2} + \overline{v'^2} + \overline{w'^2} \right]$

$$\frac{\partial e}{\partial t} = -\overline{w'u'} \frac{\partial u}{\partial z} - \overline{w'v'} \frac{\partial v}{\partial z} - \frac{g}{\theta} \overline{w'\theta'} - \frac{1}{\rho} \frac{\partial \overline{w'p'}}{\partial z} - \frac{\partial \overline{w'e}}{\partial z} - \epsilon \quad (7)$$

Ex : Mellor and Yamada $\overline{w'\phi'} = -K_\phi \frac{\partial \phi}{\partial z}$ with $K_\phi = l \sqrt{2e} S_\phi(Ri)$

Note : Imposing $\frac{\partial e}{\partial t}$ gives a coefficient of the form Eq. 6

Outline

1 Boundary layer processes in climate

- Boundary layer as a boundary condition
- Boundary layer and clouds
- Boundary layer in the "Earth System"

2 Approaches to the parametrization of the boundary layer

- Scale decomposition
- Diffusive approaches and their limitations
- Alternatives to diffusive approaches

3 Boundary layer, clouds and convection

- Cloud schemes in climate models
- Cumulus clouds and mass flux parametrisations
- Boundary layer and deep convection

Boundary layer, clouds and convection

Cloud schemes in climate models

Outline

1 Boundary layer processes in climate

- Boundary layer as a boundary condition
- Boundary layer and clouds
- Boundary layer in the "Earth System"

2 Approaches to the parametrization of the boundary layer

- Scale decomposition
- Diffusive approaches and their limitations
- Alternatives to diffusive approaches

3 Boundary layer, clouds and convection

- Could schemes in climate models
- Cumulus clouds and mass flux parametrisations
- Boundary layer and deep convection

Outline

1 Boundary layer processes in climate

- Boundary layer as a boundary condition
- Boundary layer and clouds
- Boundary layer in the "Earth System"

2 Approaches to the parametrization of the boundary layer

- Scale decomposition
- Diffusive approaches and their limitations
- Alternatives to diffusive approaches

3 Boundary layer, clouds and convection

- Cloud schemes in climate models
- **Cumulus clouds and mass flux parametrisations**
- Boundary layer and deep convection

Boundary layer, clouds and convection

Boundary layer and deep convection

Outline

1 Boundary layer processes in climate

- Boundary layer as a boundary condition
- Boundary layer and clouds
- Boundary layer in the "Earth System"

2 Approaches to the parametrization of the boundary layer

- Scale decomposition
- Diffusive approaches and their limitations
- Alternatives to diffusive approaches

3 Boundary layer, clouds and convection

- Cloud schemes in climate models
- Cumulus clouds and mass flux parametrisations
- Boundary layer and deep convection

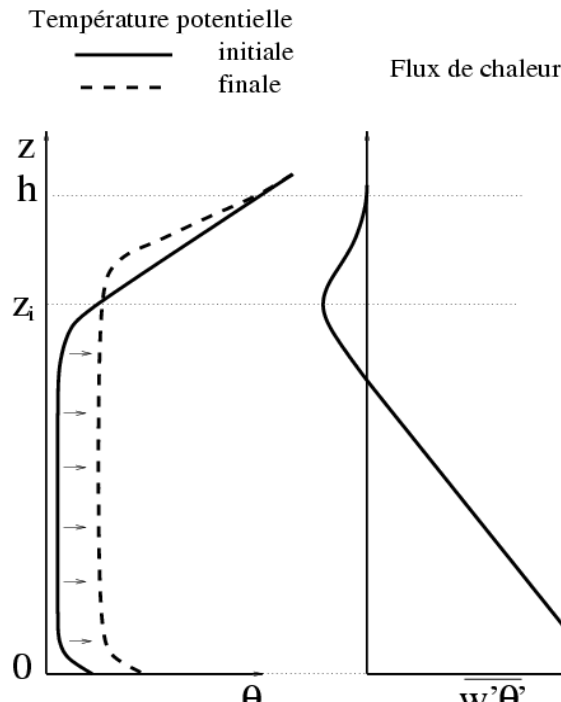
Développements en cours et futurs autour du modèle du thermique

Frédéric Hourdin, Anne Mathieu, Alain Lahellec, Fleur Couvreux, Laurent Menut,
Camille Risi, Abderrahmane Idelkadi, Catherine Rio, Olivia Coindrau

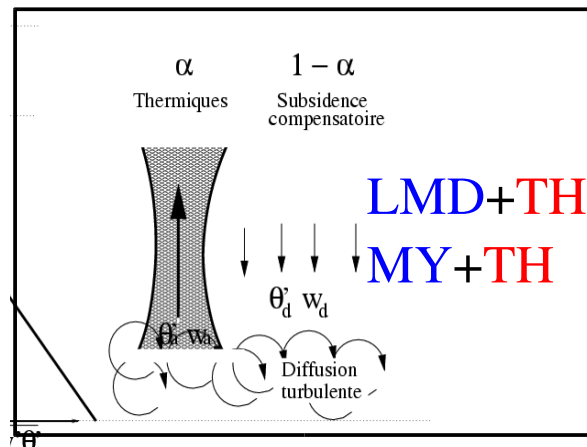
- I. Le modèle du thermique. Validation 1D avec des résultats LES.
- II. Les traceurs. Simulations radon 3D. -> Cas LES avec traceurs.
- III. Couplage avec les nuages. Etudes locales (au SIRTA) avec le modèle 3D.
- IV. Cycle diurne de la convection et AMMA

Motivations :

- Couche limite du modèle LMDZ obsolète.
- Prise en compte du transport par les structures organisées de la couche limite (convective).
- Modélisation intégrée du climat et changement climatique
 - > contraintes supplémentaires sur les modèles comme la bonne représentation du transport des espèces traces.
 - > paramétrisations plus "physiques" et moins adhoc.



nt les valeurs du vent et du scalaire θ dans la première couche au sol $w'\theta'_0$ imposé. Dans la sphère, le flux turbulent est prescrit comme une fonction de contregradient.

$$\rho \bar{w}'\phi' = -\rho K_\phi \left(\frac{\partial \phi}{\partial z} - \Gamma_\phi \right) + \hat{f}(\phi_a - \phi)$$


La couche limite convective

chauffage par le bas \rightarrow couche bien mélangée ($q=cste$)

\rightarrow chauffage réparti uniformément

$\rightarrow W' q'$ décroît linéairement avec z

Structures organisées (thermiques, panaches, rouleaux ...)

\Rightarrow MiseS en défautS des paramétrisations en diffusion turbulente

Diffusion turbulente :

$K_z(Ri)$ ex: Louis 1979, et schéma LMD (Laval et al., 1981)

Mellor et Yamada (MY) $K_z=1$ et $\frac{d\theta}{dt} = \dots$, TKE

Schémas non locaux

\rightarrow Contregradient (Deardorf, 1966). LMD : contregradient imposé similarité étendue à la couche limite convective (Troen & Mart, 1986,

Holtzlag & Boville, 1993= HB)

\rightarrow Longueurs de mélange non locales (Bougeault)

\rightarrow Flux de masses

* Modèles de couche mélangée (Betts, Albrecht, Wang, Suarez et al....)

* au sens des paramétrisations de la convection profonde

(Chatfield & Brost, 1987, TH : Hourdin et. al., JAS, 59:1105-1123)

\rightarrow Matrices de transilience (Stull, 1984, Pleim & Chang, 1992)

\rightarrow Schémas d'ordre plus élevé

(Abdella & Mc Farlane, 1997, Randall et al., 1992, Lapen & Ransall, 2002)



Exemple classique de rues de nuages créées au sommets de rouleaux convectifs lors d'arrivée d'air polaire froid sur des masses océaniques plus chaudes.

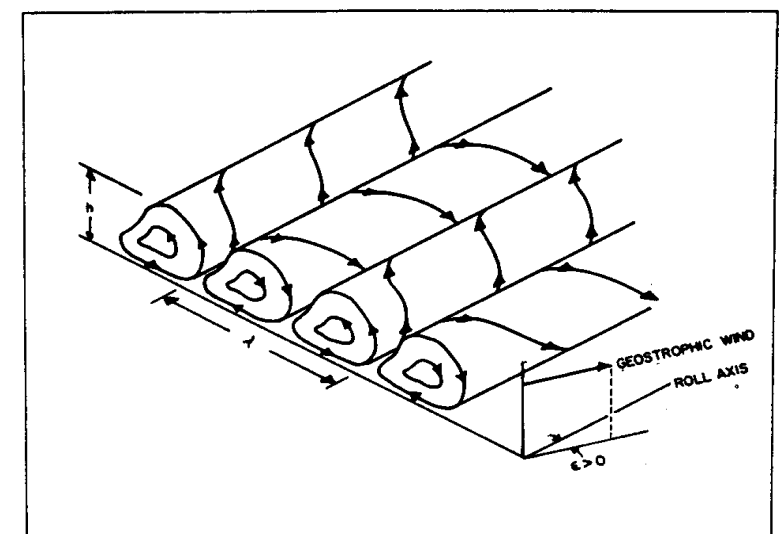
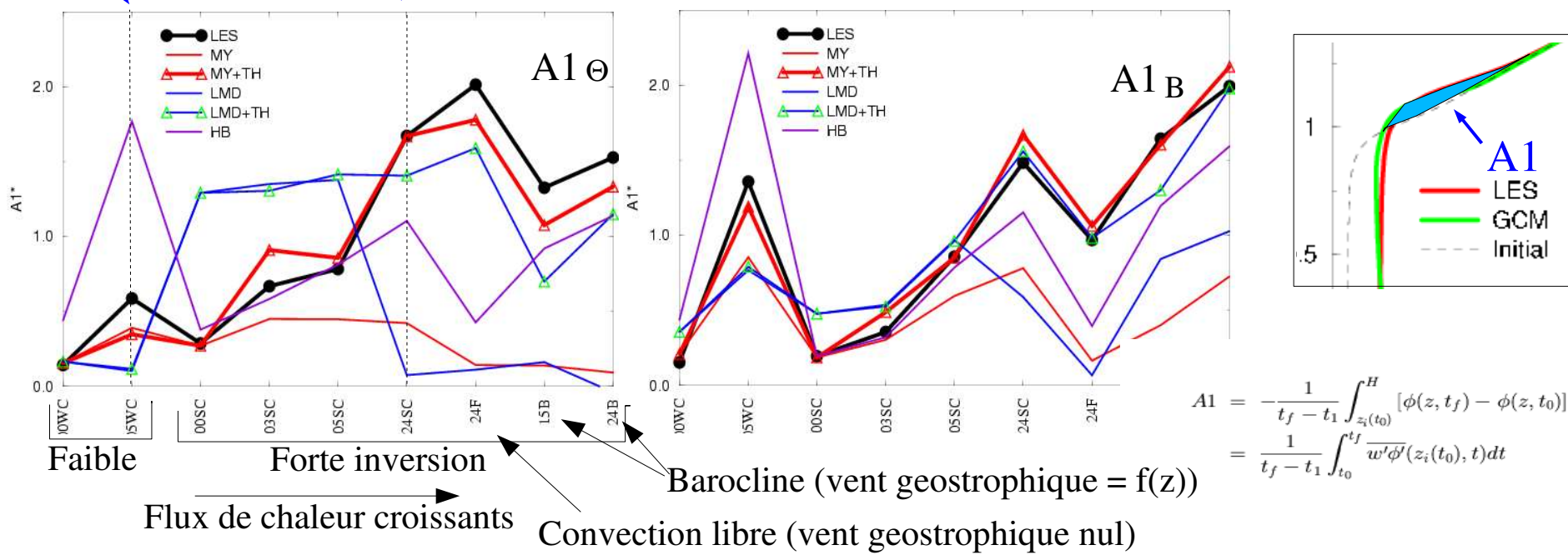
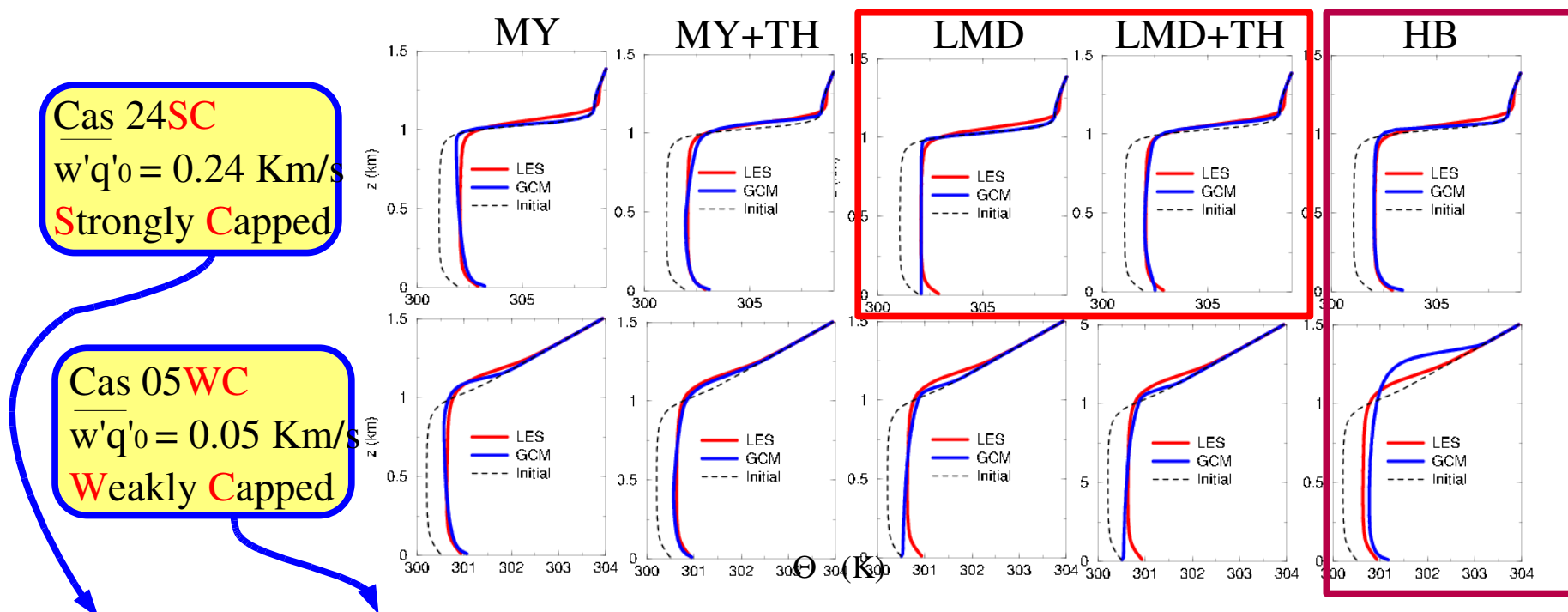
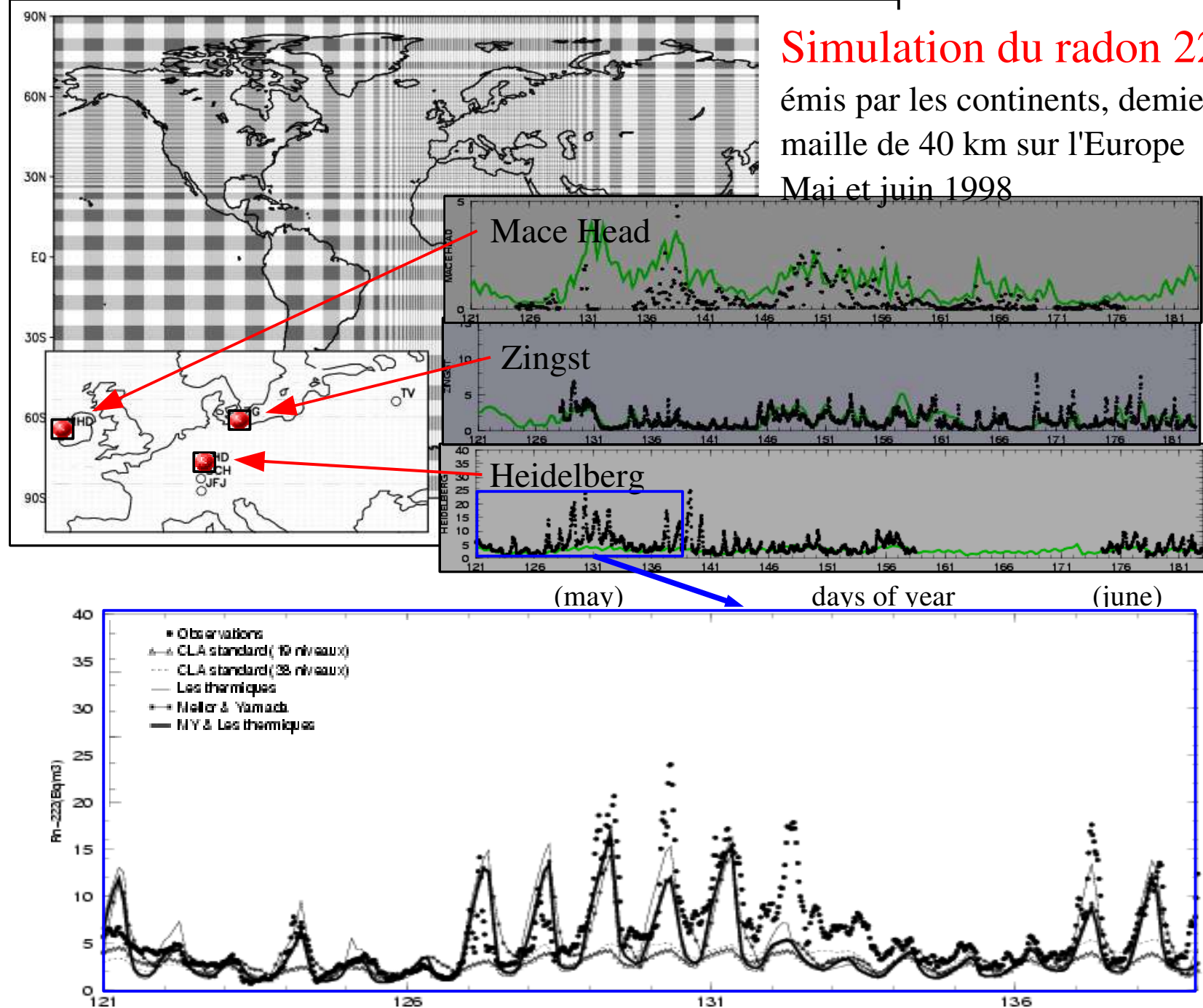
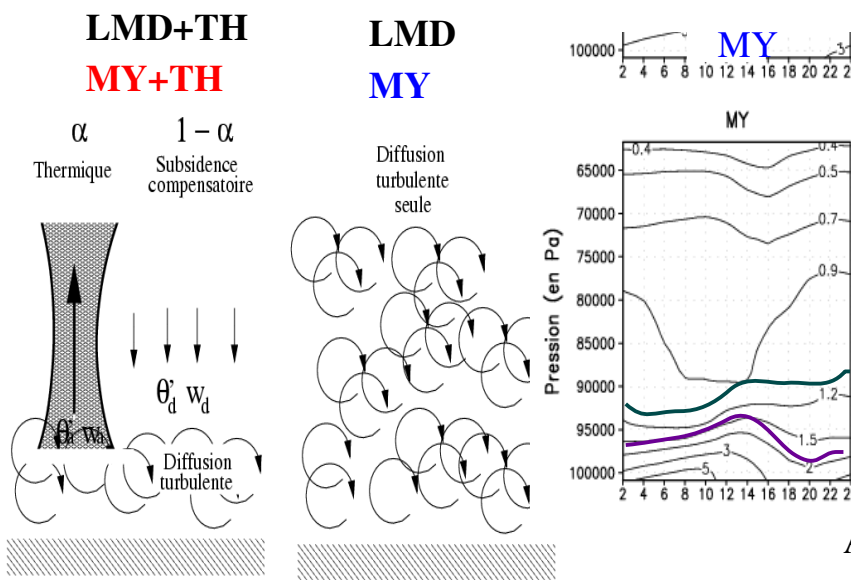


FIG. 1. Schematic diagram of horizontal convective rolls (Brown 1980; Kelly 1982).

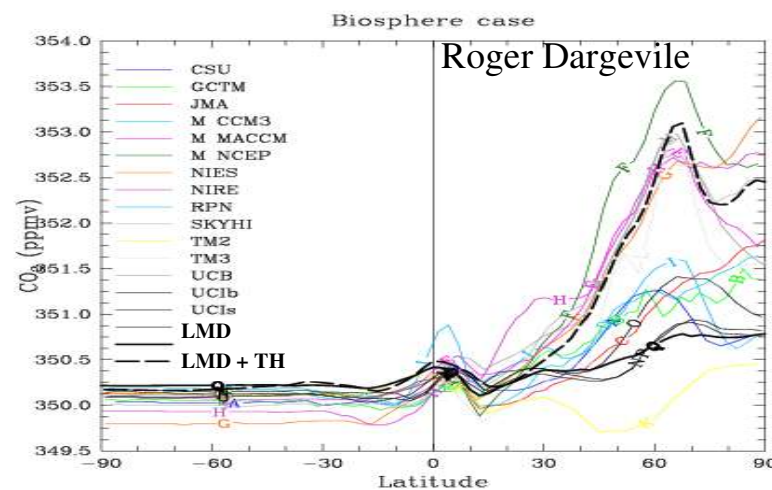




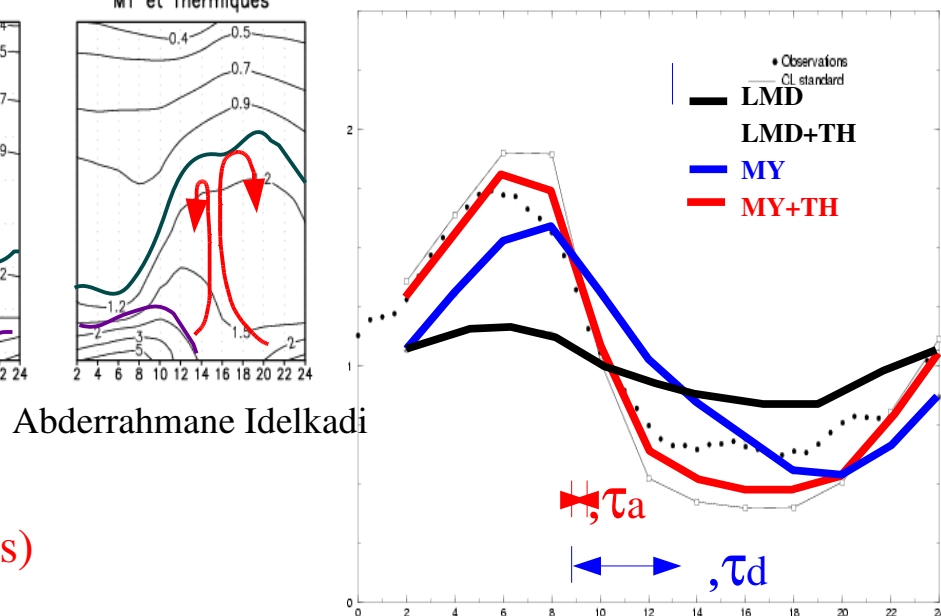
Couche limite convective : Le modèle du thermique



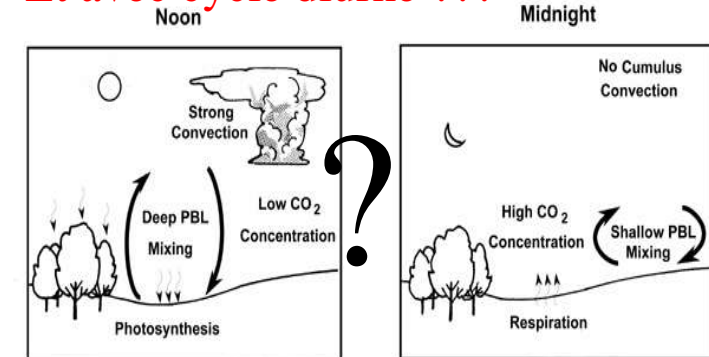
Contrastes hémisphériques de CO₂ biosphérique (sans cycle diurne des sources)



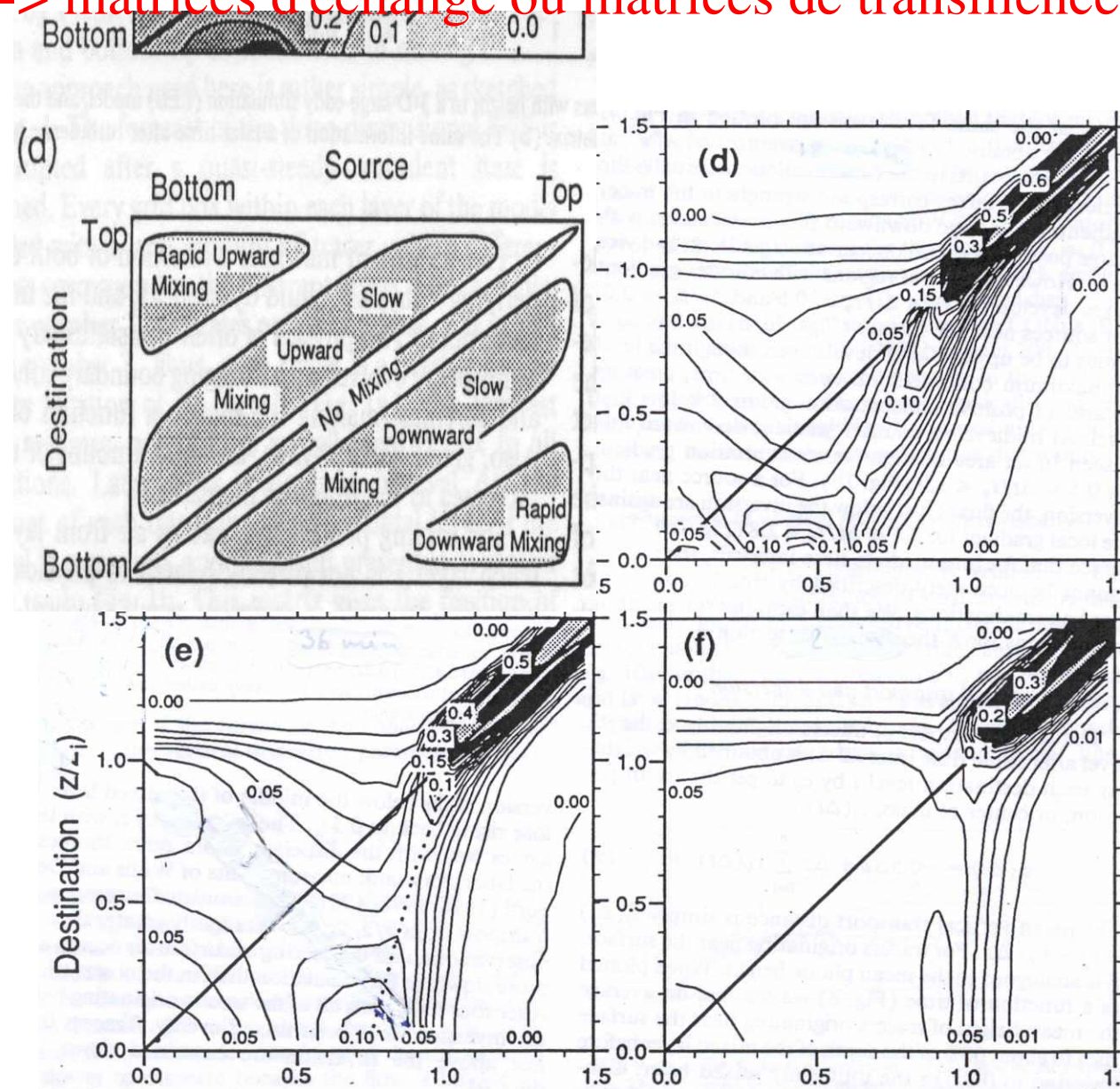
Cycle diurne moyen normalisé
e la concentration de radon en surface

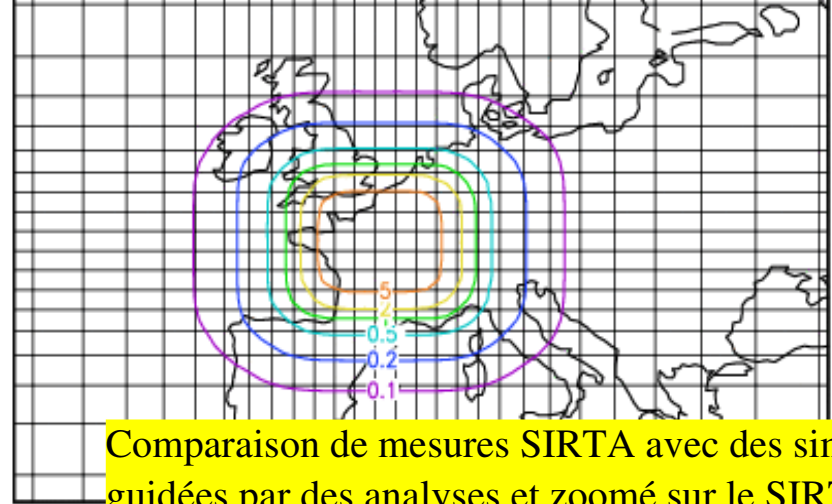


Et avec cycle diurne ???



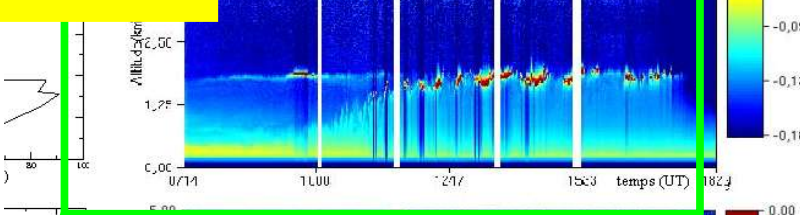
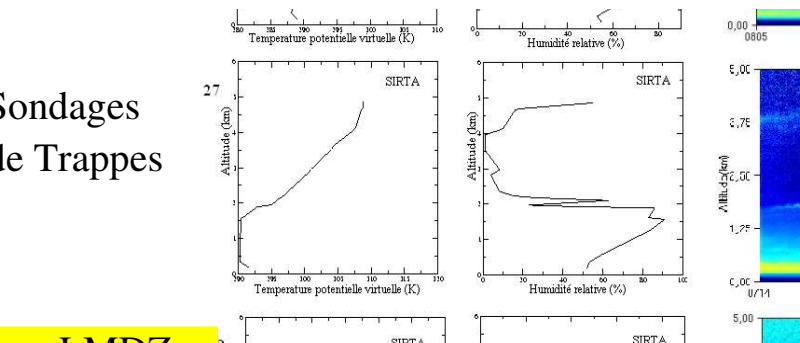
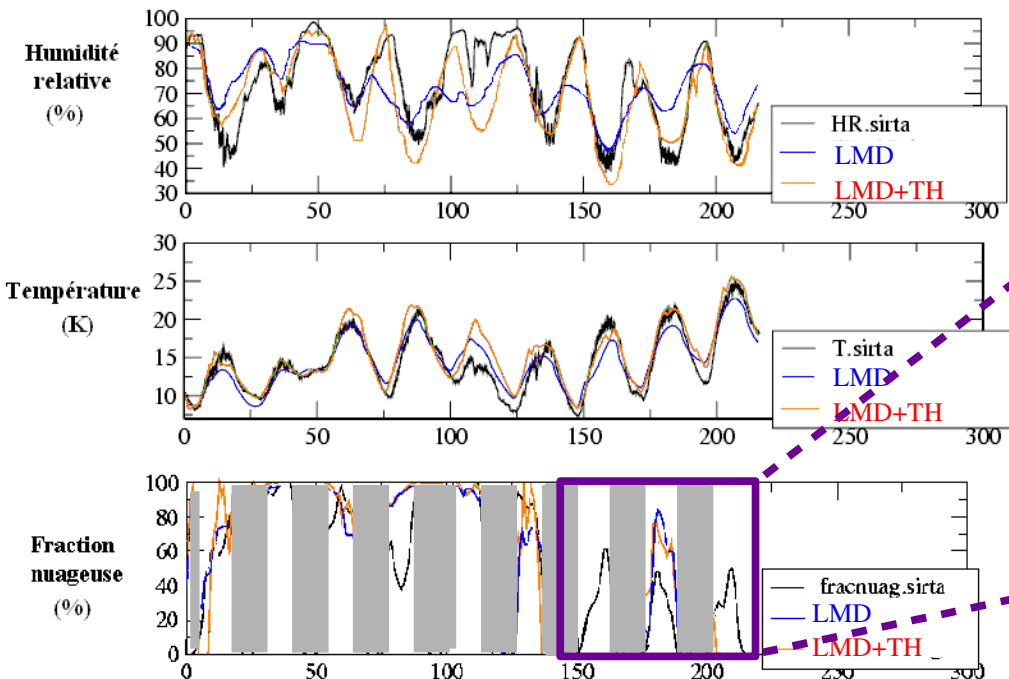
Simulations LES avec traceurs émis par couche -> matrices d'échange ou matrices de transilience.



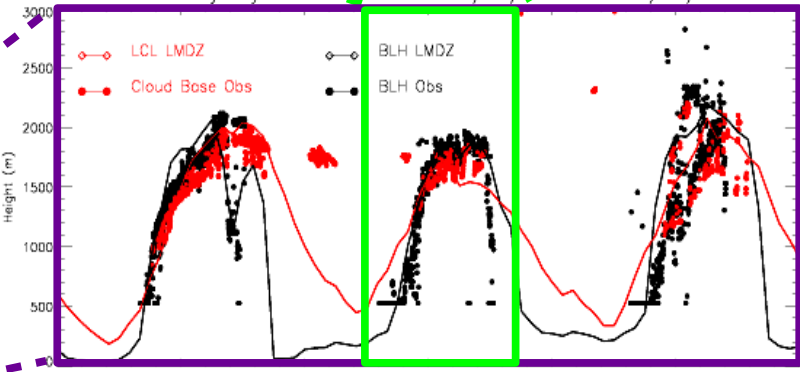


Sondages de Trappes

Comparaison de mesures SIRTA avec des simulations LMDZ guidées par des analyses et zoomé sur le SIRTA. Deux versions de la paramétrisation de la couche limite sont utilisées : couche limite du LMD avec ou sans thermiques (TH).



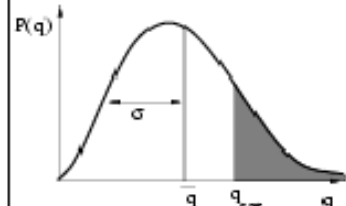
Boundary Layer at ALAISEAU 2003/05/26 and 2003/05/28



Hauteurs de couche limite et niveau de condensation libre
Diagnostics effectués par Anne Mathieu

Statistical cloud scheme

$P(q)$, PDF of subgrid scale total water



Mean : \bar{q}
Width : σ

$$P(q)dq = 1$$

$$f = \int_{q_{\text{sat}}}^{\infty} P(q)dq, \quad q_c = \int_{q_{\text{sat}}}^{\infty} (q - q_{\text{sat}})P(q)dq$$

Model parameter $r = \sigma / \bar{q}$

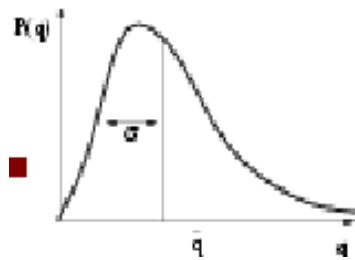
small r : stratiform clouds, weak vertical motions.

Large r : cumuliform clouds, strong vertical motions



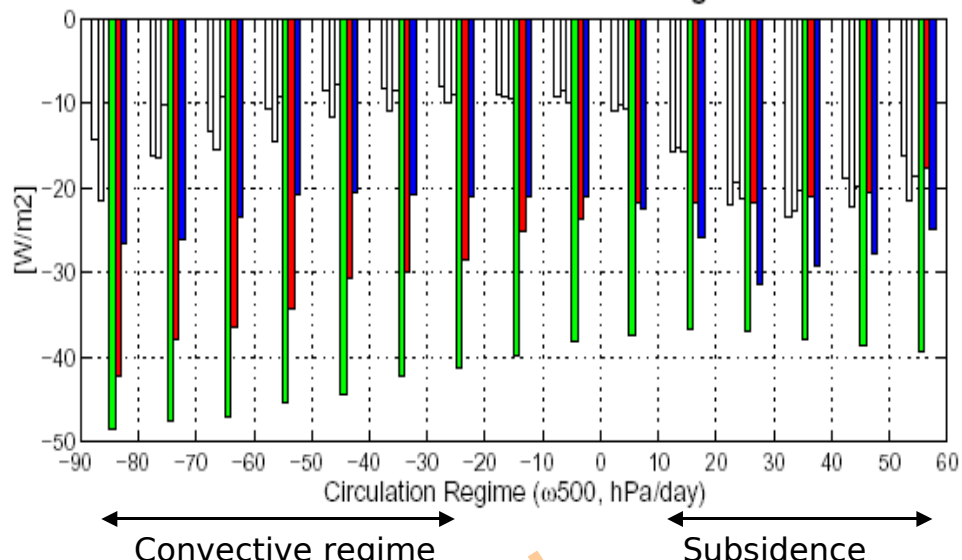
Rectangular

Le Treut and Li, clim
dyn 1991



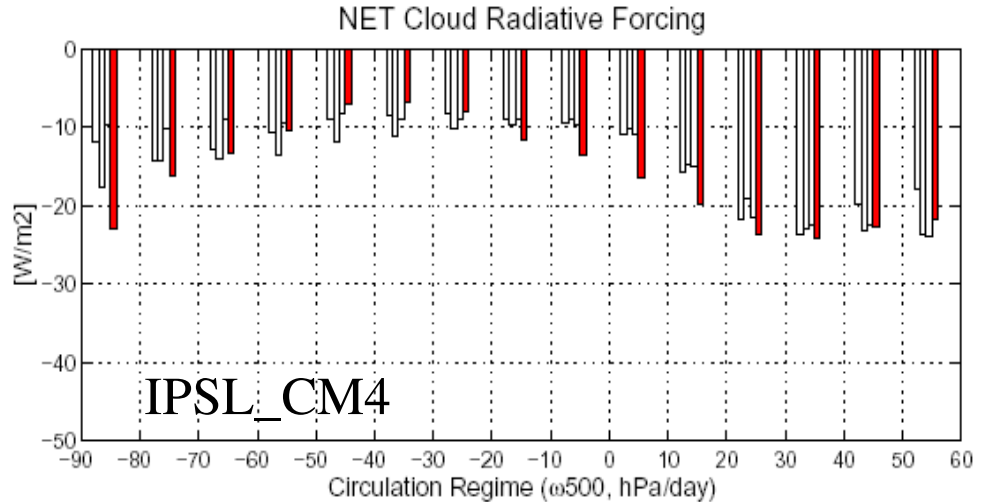
Generalized Log normal with $P(0)=0$
Bony and Emanuel, JAS, 2001

NET Cloud Radiative Forcing



- [] ERBE/NCEP
- [] ERBE/ERA
- [] ERBE/DAO
- [] ECMWF
- [] LMDZ2
- [] UKMO

IPSL_CM4

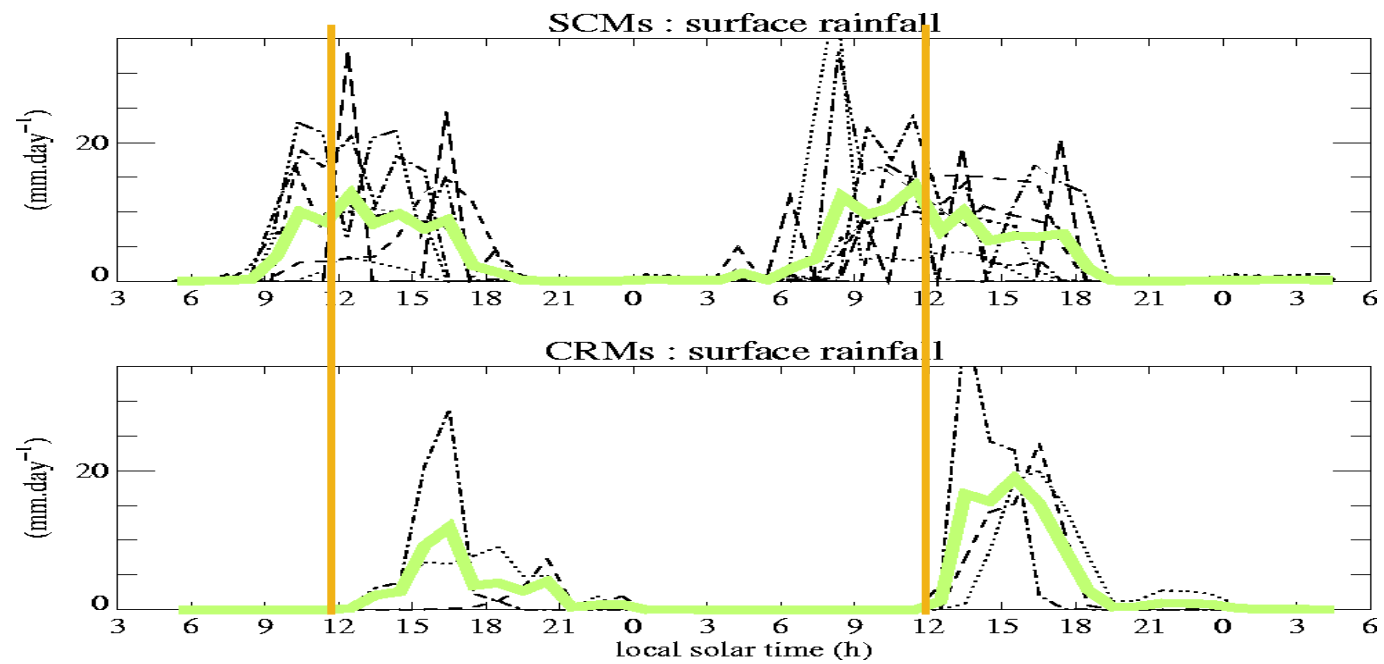


cycle diurne de la convection précipitante continentale

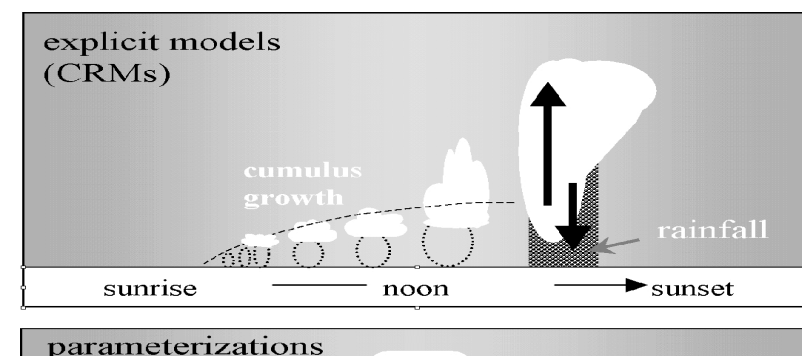
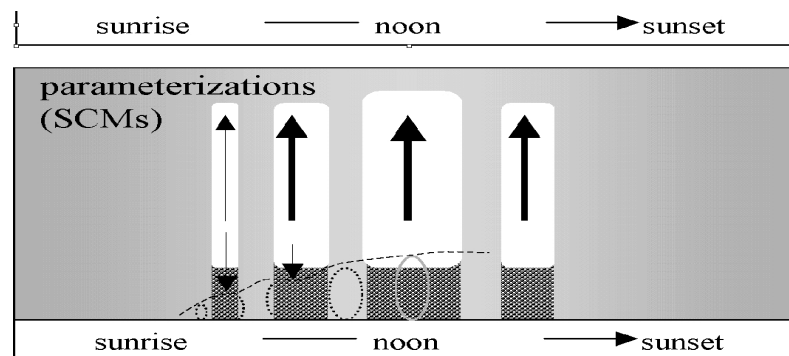
Guichard et al.
(2004)

définition
d'un cas
d'étude (1D)

à partir de
données
ARM-SGP
(SCM-IOP:
bilans T & q)



dispersion importante des quantités de précip, mais...
le défaut GCM se retrouve en mode SCM
La convection est plus tardive dans les CRMs



Objectifs et approches

I. Cycle diurne de la couche limite convective.

en termes de température, vapeur d'eau, nuages et traceurs (CO₂).
Validation fine des paramètres internes.

SIRTA

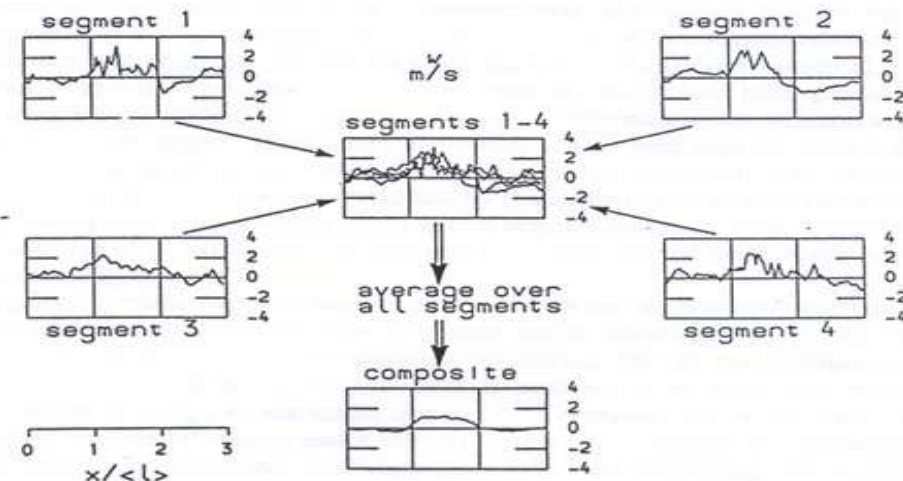
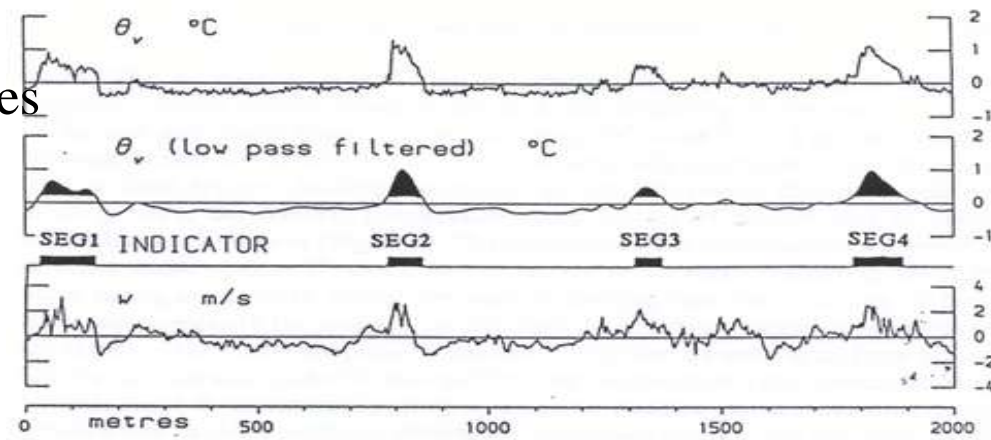
- > Etude systématique des nuages aux moyennes latitudes.
- > test dans une configuration réaliste (y compris couplage au schéma de surface).
- > nécessite de sélectionner des cas.
- > outils de validation : simulateurs lidar, w par lidar Doppler, couverture des ascendances ...

LES

- > Nouveaux cas de couche limites convectives sèches et de cas avec petits cumulus.
- > Construction de cas pour les modèles ARPEGE/CLIMAT et LMDZ avec une interface commune en mode uni-colonne (Marie-Pierre Lefebvre). Comparaison et percolation des approches.
- > Permet de tester la réponse aux paramètres de forçage.
- > Ajouter les traceurs -> matrices d'échange.
- > Comparaison en termes de composites (à la Williams).

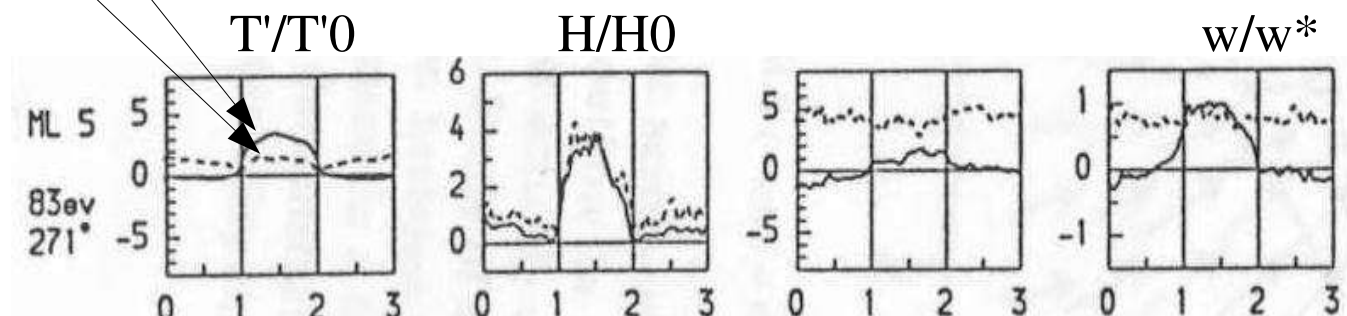
Reconstruction des thermiques
par composite sur la
température potentielle
à Parir de vols avions.

Williams et Hacker 1992



Moyenne

Ecart-type



Objectifs et approches

II. Cycle diurne de la convection

- > CAPE humide pour le flux de masse ascendant ?
- > Couplage avec le schéma d'Emanuel.
- > Modification de l'entrainement dans Emanuel
- > Poches froides.

Simulations CRMs ARM.

Ajouts de traceurs.

Simulations ARM en LES ?

III. Autres

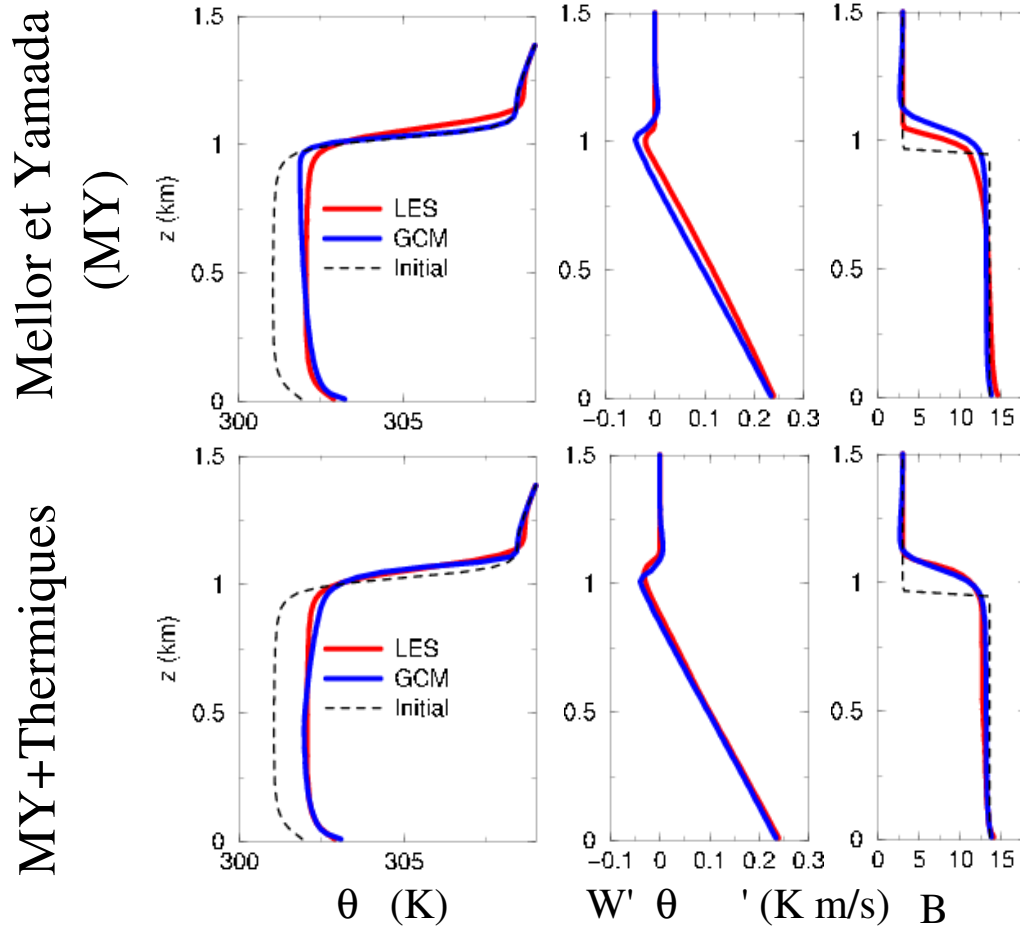
- > Strato-cumulus/cumulus. Instabilité d'entrainement et descentes organisées.
- > Soulèvement des poussières.
- > Tensions de vent de surface.
- > Couplage avec le schéma de diffusion.



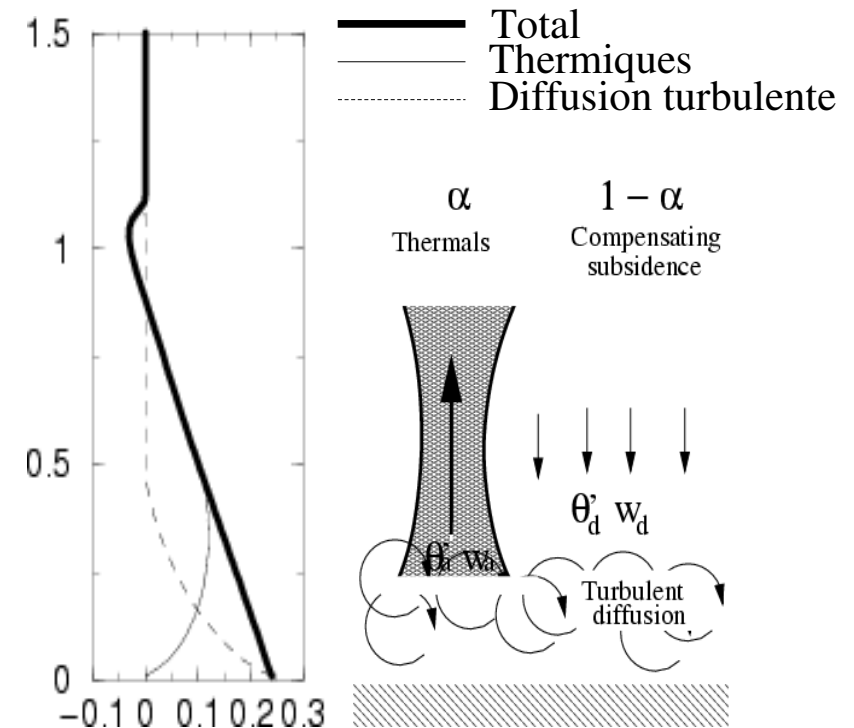
Françoise Guichard et Laurent Kergoat

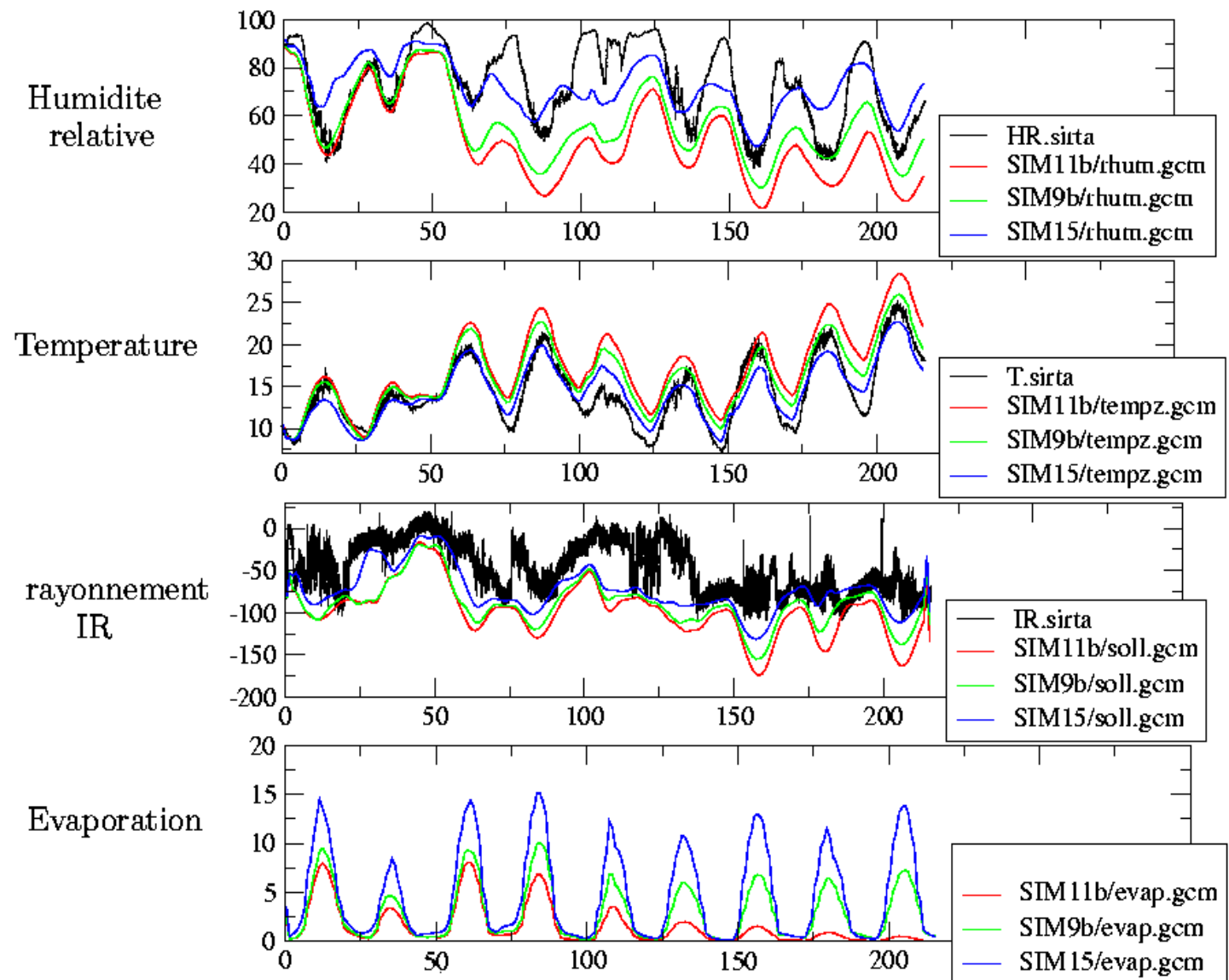
Exemple de comparaison avec les LES (modèle du NCAR, Moeng et al.) pour la température potentielle et un traceur B, atmosphère sèche.

Forçage : flux de chaleur au sol $w'\theta' = 0.24 \text{ Km/s}$
 vent géostrophique $u = 10 \text{ m/s}$

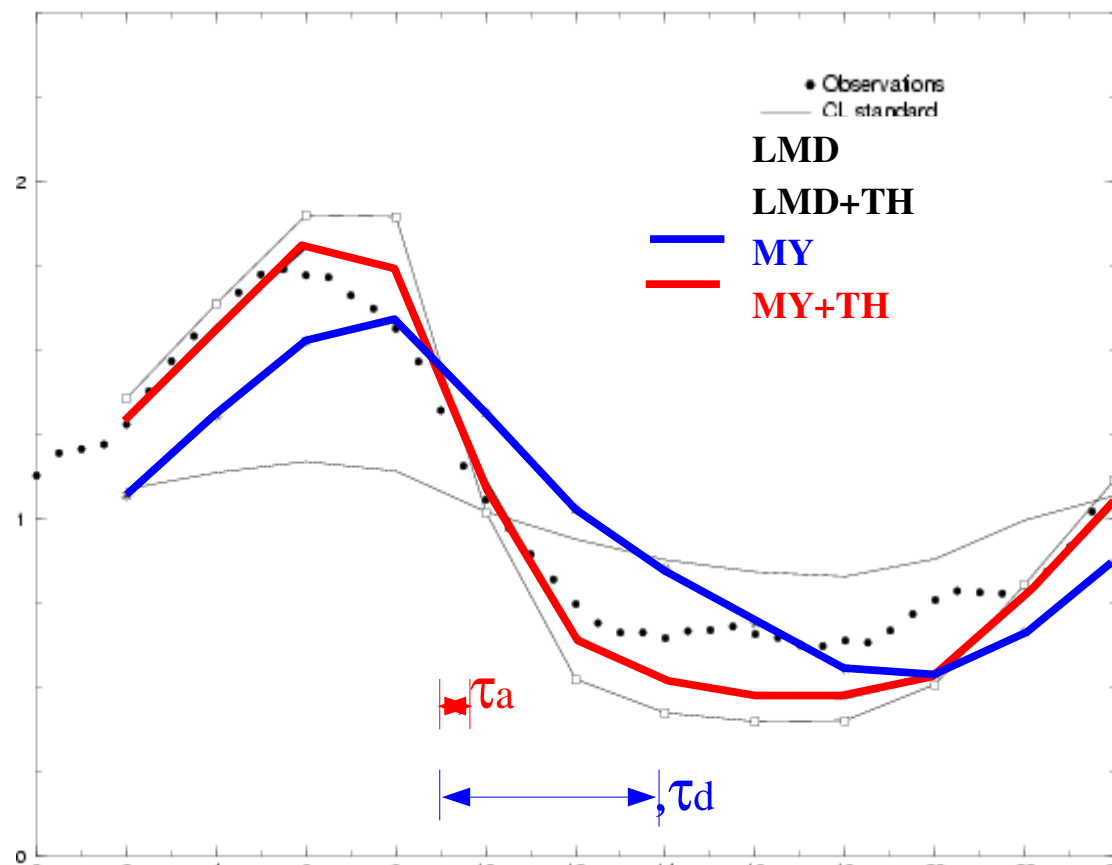


Décomposition du flux de chaleur dans le cas MY+thermiques





Cycle diurne moyen normalisé de la concentration de radon en surface

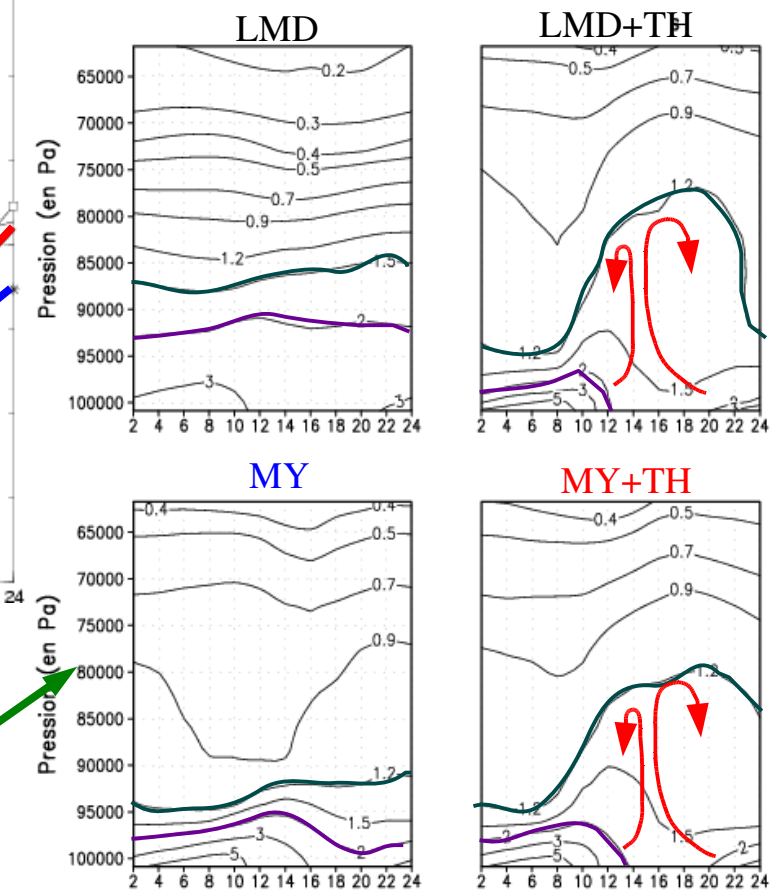


Vitesse turbulente : $w \simeq 1 \text{ m s}^{-1}$
Longueur de mélange : $l \simeq 200 \text{ m}$
Hauteur de la couche limite : $h \simeq 2 \text{ km}$

Constante de temps du transport vertical :

$$\text{diffusive : } \tau_d = \frac{h^2}{wl} \simeq 5 \text{ heures} \quad (1)$$

$$\text{advecive : } \tau_a = \frac{h}{w} \simeq 1/2 \text{ heures} \quad (2)$$



Fermeture pour le modèle du thermique

Vision idéalisée d'un panache thermique

$$v_{\max} \simeq w_{\max} \simeq \sqrt{2CAPE} \quad \text{avec} \quad CAPE = \int_0^{z_i} g \frac{\theta_{SL} - \theta_{ML}}{\theta_{ML}} dz$$

D'où on tire un flux de masse $f = \frac{\rho(z_s/2)z_s\sqrt{2CAPE}}{rz_t}$

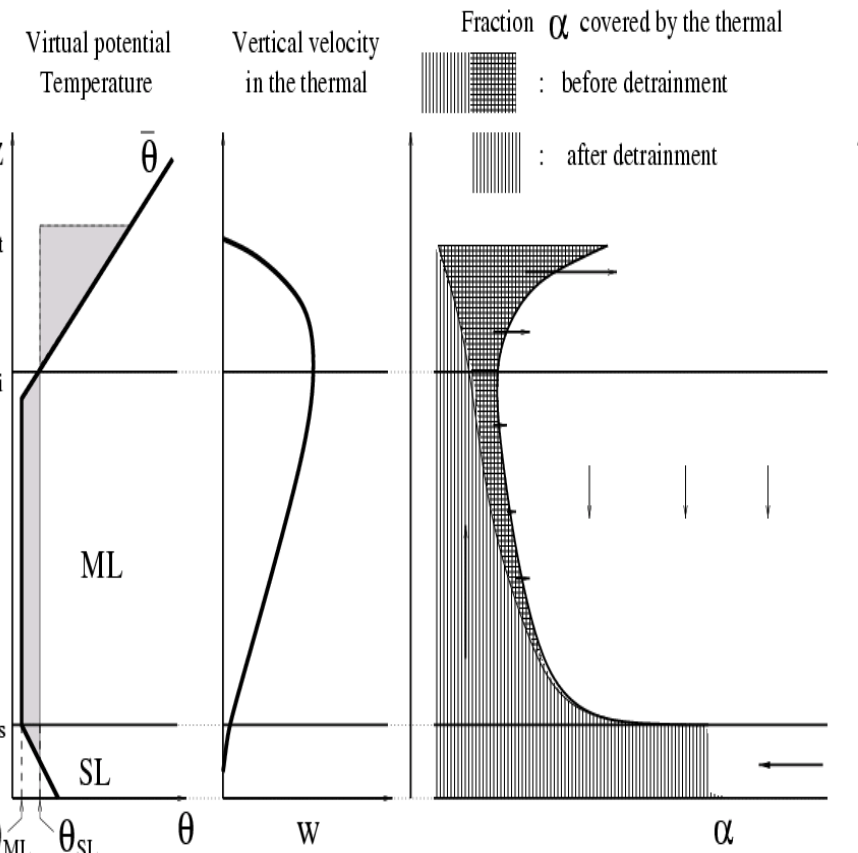
$r \simeq 2$ rapport d'aspect des rouleaux convectifs.

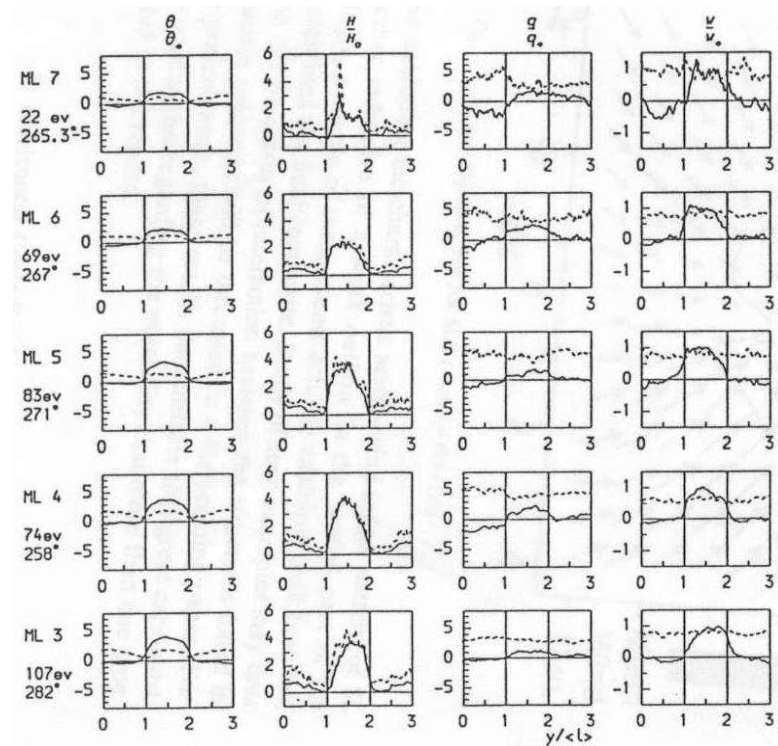
Les équations du modèle du thermique

$$\frac{\partial \hat{f}}{\partial z} = \hat{e} - \hat{d} \quad \text{et} \quad \frac{\partial \hat{f}\phi_a}{\partial z} = \hat{e}\phi_a - \hat{d}\phi_a$$

$$\hat{e}(z) = \frac{\rho(z)}{rz_t} \left[\int_z^{hi(z)} g \frac{\theta(z) - \theta(z'')}{\theta(z'')} dz'' \right]^{1/2}$$

$$\hat{d}(z) = \frac{\partial}{\partial z} \left(\rho \hat{w} \sqrt{\lambda z} / (rz_t) \right) \text{ si } z < z_i \quad \text{et} \quad \hat{d}(z) = -\frac{\partial}{\partial z} \left[\rho \hat{w} \hat{\alpha}(z_i) \left(\frac{z_t - z}{z_t - z_i} \right)^\mu \right] \text{ sinon}$$





Etude de la couche limite au SIRTA

Modèle guidé (par NCEP) et zoomé (100km, en 48x32)

Exemple de simulation:

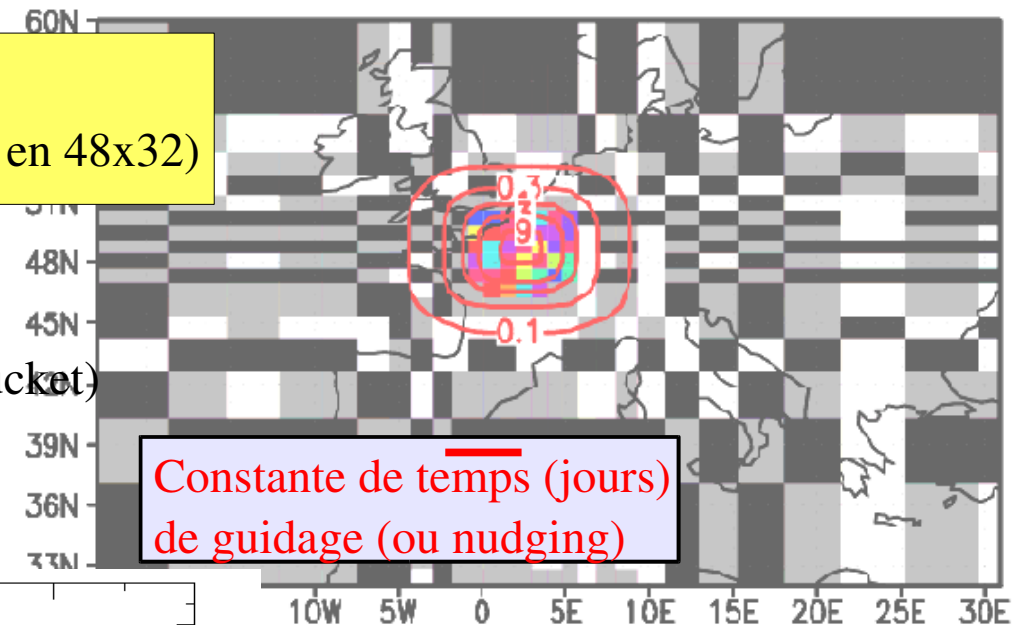
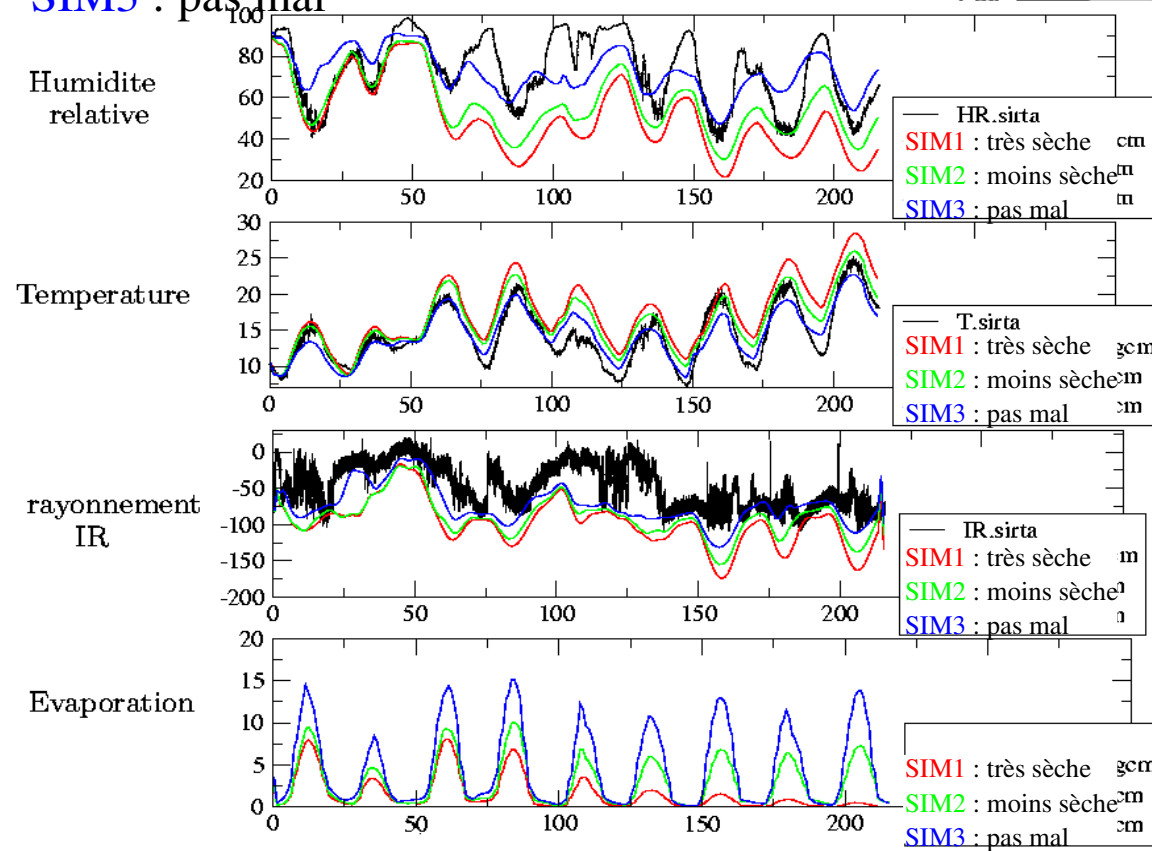
Simulation de 10 jours en mai 2003

Test de la sensibilité au schéma de surface (bucket)

SIM1 : très sèche

SIM2 : moins sèche

SIM3 : pas mal



Grille utilisée pour les simulations SIRTA

